

## ОРГАНИКОСТЕННЫЙ МИКРОФИТОПЛАНКТОН В ОТЛОЖЕНИЯХ ПАЛЕОЦЕНА В БАССЕЙНЕ Р. ЛЯЛЯ (СВЕРДЛОВСКАЯ ОБЛАСТЬ)

О.Н. Васильева

### Введение

Отложения палеоцена в Среднем Зауралье представлены породами, относимыми к талицкому горизонту. В северных районах Среднего Зауралья и Северном Зауралье (Серовский и Ивдельский районы Свердловской области) преимущественно глинистые отложения талицкой свиты постепенно меняют свой облик и замещаются литологически близкими образованиями марсятской (нижней) и ивдельской (верхней) свит. Четких литологических критериев для расчленения этих двух свит на Северном Урале не существует [Цаур, Якушев, 1991]. Как марсятская, залегающая на образованиях сложно построенной полуночной пачки марганцевых руд, так и ивдельская свиты, представлены в основном темно-серыми бейделлитовыми глинами и аргиллитами с примесью диатомового материала с прослойками глауконит-кварцевых песчаников и алевролитов, а также глауконититов. Важно отметить, что в основании обеих свит обычно присутствует базальный слой конгломератов, гравелитов, разнозерни-

стых песков, песчаников. Именно такое строение разреза отличает марсятскую и ивдельскую свиты от преимущественно глинистой талицкой свиты, распространенной в Среднем и Южном Зауралье и в центральных районах Западной Сибири.

Следует подчеркнуть, что образования марсятской, ивдельской свит в Северном Зауралье и их аналога талицкой свиты отражают развитие крупных трансгрессивных ритмов в палеоцене, следовавших с Палеоарктикой. При условии формирования литологически близких толщ оценить возрастной интервал и степень распространения этих трансгрессий в южном направлении и в центральные районы Западной Сибири можно только детальным изучением фито- и зоопланктона из этих отложений, сопоставлением распространения комплексов диноцист, диатомей, радиолярий и фораминифер.

Отложения палеоцена в изучаемом районе чрезвычайно скучно охарактеризованы палеонтологически, в том числе морскими микрофоссилиями с органической оболочкой. Име-

# СТРАТИГРАФИЯ, ПАЛЕОНОЛОГИЯ

ются данные по диатомовым водорослям и радиоляриям из разреза Усть-Манынской скважины 19 [Стрельникова, 1992; Козлова, 1999], но и в этом разрезе образования ивдельской свиты не имеют палеонтологической характеристики. Цистами динофлагеллат охарактеризованы отложения марсятской свиты в ее стратотипическом разрезе в пос. Марсяты Северного Зауралья [Васильева, 2006]. Наиболее полно отложения марсятской и ивдельской свит охарактеризованы микрофитопланктоном в разрезе Лозьвинская пристань по р. Лозье [Васильева, 1999], хорошо известного как «обнаружение с макклинтокиями», изученными А.Н. Криштофовичем. В Среднем и Южном Зауралье обобщены данные по радиоляриям и диноцистам талицкой свиты по серии скважин в Шадринском и Туринском районах Среднего Зауралья [Амон, Васильева и др., 2003; Васильева, 2003а, 2003б].

В данной статье представлены два разреза палеоценена, изученных в естественных обнажениях, расположенных по р. Ляля. Обнажения – Среднее Салтаново и Ляля-Титово – известны из описаний В.П. Ренгардена [Ренгарден, 1951]. Палинологическое изучение микрофитопланктона (диноцист) из этих разрезов проводится впервые. Описание разреза Ляля-Титово первоначально сделано в 1988 г. в полевых поездках автора совместно с В.И. Железко. В полевых экскурсиях 2004 г. объединенным полевым отрядом сотрудников ГИН РАН (Г.Н. Александрова, В.Н. Беньяновский, Т.В. Орешкина) и ИГГ УрО РАН (О.Н. Васильева, Т.П. Малышкина) изучен ряд разрезов Среднего и Южного Зауралья, включая представленные в данной работе разрезы Среднее Салтаново и Ляля-Титово. Расположение обнажений показано на рис. 1. Оба изученных обнажения расположены в Серовском районе Свердловской области (Среднее Зауралье). Разрез Ляля-Титово локализован на южной окраине д. Ляля-Титово, на левом берегу р. Ляля, в одном километре к юго-востоку от моста через реку Конда. В 20 км выше по течению р. Ляля, в крутой излучине, на правобережье, на юго-восточной оконечности д. Среднее Салтаново в высоком береговом обрыве вскрыт разрез палеоценена Среднее Салтаново.

## Строение разреза

Литологическое строение обоих разрезов в общем очень близко. Описание приводится по

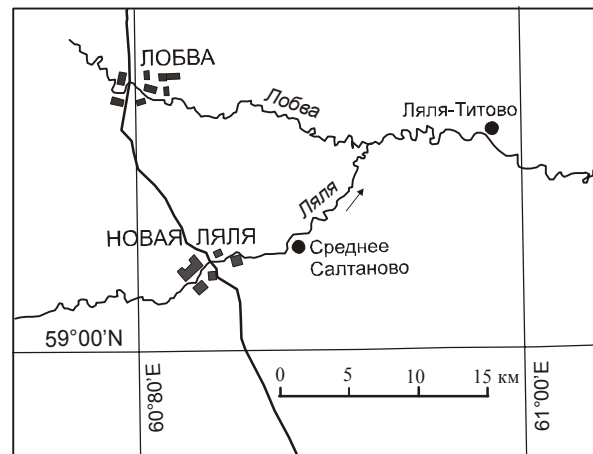


Рис. 1. Карта расположения изученных разрезов палеоценена Ляля-Титово и Среднее Салтаново.

разрезу **Среднее Салтаново** как более полному. В обнажении над урезом воды стратиграфически снизу вверх вскрыты расчистками следующие слои (рис. 2).

### Палеоцен. Даний. Марсятская (?) свита.

1. Песчаник кварцево-глауконитовый (глауконитит) темно-зеленый, буровато-желтый, пестрый, тонкозернистый, оскольчатый, плотный, сливной, окремненный, ожелезненный. Глауконит распределен в породе неравномерно, гнездами. Видимая мощность 2,0 м.

### Зеландий. Ивдельская свита.

2. Песок глинистый табачно-оливковый (участками алевритистая глина), неясно-слоистый за счет неравномерного распределения кластического материала, с примазками ярозита, пятнами ожелезнения. В верхней части слой интенсивно ожелезнен. Мощность слоя 0,5 м.

3. Глауконитовый песчаник пестроокрашенный, преимущественно темно-зеленый, с примазками ярозита, неравномерно окремненный и уплотненный; менее плотный, чем порода слоя 1. Верхняя часть слоя содержит омарганцеванные конкреции конгломерата с галькой кварца и кремня (0,5–3,0 см в диаметре), линзы глауконита и охристого мелкозернистого кварцевого песка мощностью до 15 см. Встречены фрагменты зубов акул. Мощность слоя около 0,3 м.

4. Глина темно-серая, почти черная с буровато-коричневым оттенком, однородная, не-пластичная, оскольчатая, щебенчатая, пластинчатая, листоватая, с примазками ярозита, ожелезненная. В нижней части слоя порода более песчанистая, с тонкими прослойками и линзами серого алеврита. Мощность слоя около 10,0 м.

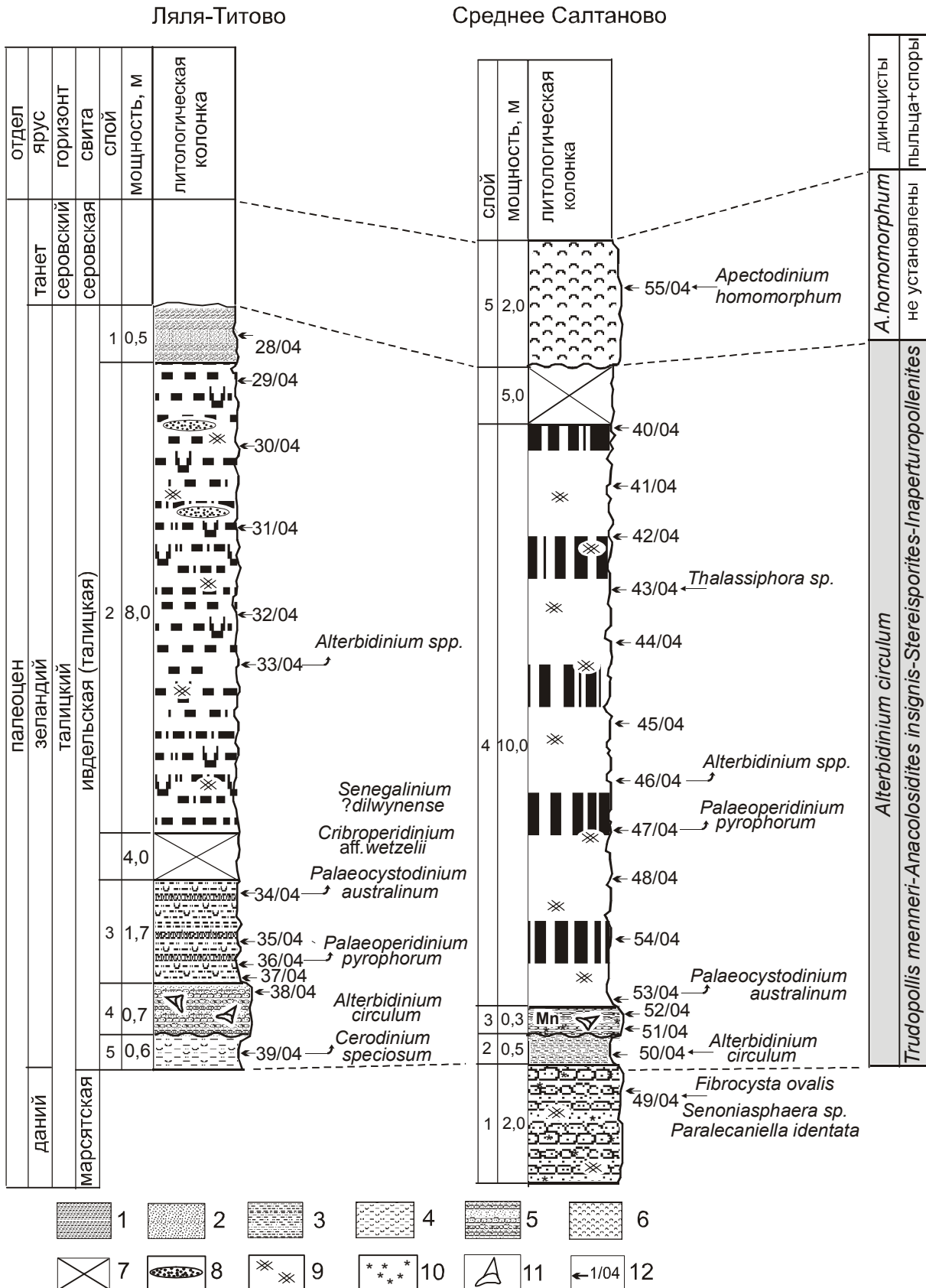


Рис. 2. Строение разрезов Ляля-Титово, Среднее Салтаново и распространение комплексов микрофитопланктона (цист динофлагеллат):

1 – глина; 2 – песок; 3 – глина алевритистая; 4 – глина диатомовая, глина окремненная; 5 – песчаник; 6 – опока; 7 – перерыв в наблюдении; 8 – линзы алеврита и песка в породе; 9 – ожелезнение; 10 – глауконит; 11 – зубы эласмобранхий; 12 – номера палинологических проб.

# СТРАТИГРАФИЯ, ПАЛЕОНТОЛОГИЯ

Контакт глин ивдельской и опок серовской свит не изучен; склон облесен. Верхняя часть разреза опробована в 100 м южнее, у родника, в лесу.

## Танет. Серовская свита.

5. Опока крепкая, плотная, серая, темносерая, кофейная, крупнощебенчатой отдельности, ожелезненная по сколам. Видимая мощность более 2,0 м.

Весь разрез послойно опробован на диноцисты, пыльцу и споры, диатомовые водоросли. Литологическая последовательность слоев 2-4 в разрезе Среднее Салтаново аналогична таковой в разрезе **Ляля-Титово** (слои 2-5), в котором выше маломощной глинисто-песчаной толщи слоя 5 залегает прослой песчаника с мелкими зубами акул (слой 4). В песчанике найдены фрагменты эласмобранхий, среди которых Т.П. Малышкиной определены *Hexanchinidae* indet., *Carcharhinidae* indet., а также мелкоразмерные формы *Odontaspidae* indet., *Lamniformes* indet., которые близки к таксонам, установленным в осадках полуночной пачки в разрезе Марсията [Малышкина, 2006]. В разрезе Ляля-Титово прослой песчаника с зубами акул (слой 4) перекрывает мощная толща глины темной, серовато-коричневой, слабо окремненной (слои 2 и 3). Слой 3 содержит в нижней части два прослоя с конкрециями сидерита винтообразной формы (см. рис. 2). Таким образом, в разрезе Ляля-Титово не представлен базальный прослой песчаника (глауконитита) и перекрывающая глинистую часть разреза мощная опоковая толща серовской свиты.

## Краткая палинологическая характеристика

### (фитопланктон, споры и пыльца)

Несмотря на то, что по насыщенности и количеству участвующих таксонов фитопланктона комплексы разрезов Ляля-Титово и Среднее Салтаново несколько различаются, вся глинистая толща ивдельской (талицкой) свиты соответствует зональному комплексу *Alterbidinium circulum*. Палинологически наиболее полно охарактеризована верхняя (глинистая) часть разреза. Самый нижний интервал глин в разрезе **Ляля-Титово** (слой 5) содержит представительный комплекс диноцист с участием *Alterbidinium circulum*, *Cerodinium speciosum*, *Cerodinium markovae*, *Fibradinium annetorpense*, *Palaeocystodinium lidiae*, *P.golzowense*, *Senegalinium dilwynense*, *Spinidinium* spp.,

*Isabelidinium* ex gr. *acuminatum*, *Lentinia* sp., *Kallosphaeridium* sp. Значительное участие акритарх, зеленых и празинофитовых водорослей свидетельствует о существенном обмелении и опреснении бассейна: *Pterospermella* sp., *Chitroesphaeridia* sp., *Cymatiosphaera* sp. (празинофиты), *Palambages morulosa* (зеленые водоросли), *Paucilobimorpha apiculata*, *Paralecaniella identata*, *Fromea laevigata*, *Fromea* spp. (акритархи); им сопутствует повышенное содержание диноцист *Membranosphaera* spp.

Слои 2 и 3 в разрезе Ляля-Титово содержат несколько обедненную, но стабильную по составу ассоциацию с участием *Palaeoperidinium pyrophorum*, *C.speciosum*, *Fibradinium annetorpense*, *Palaeocystodinium australinum*, *Cribroperidinium* aff. *wetzellii*, *Spinidinium densispinatum*, *Florentinia ferox*, *Fibrocysta* spp., *Alterbidinium* spp. Участие акритарх и празинофитовых стабильно в небольших количествах. По своему составу ассоциация сопоставима с наиболее ранним комплексом зеландия, включающим появление *Alterbidinium circulum* [Heilmann-Clausen, 1985], зоной D3а шкалы PTS (Paleogene Time Scale), определяемой по FAD *Alterbidinium circulum*. Подзона D3а отвечает верхней части зоны NP4 раннего зеландия [Luterbacher et all, 2004]. Следует подчеркнуть, что описываемый комплекс является более молодым, чем установленная в кровле марсиятской свиты ассоциация позднего дания *Cerodinium striatum*, включающая *Senegalinium iterlaaense* и многочисленные *Spinidinium* spp. [Васильева, 2006].

В разрезе Ляля-Титово (слой 5) установлен также богатый комплекс наземных палиноморф с участием представителей стеммы *Normapolles*, обильным присутствием пыльцы голосеменных *Inaperturopollenites* spp. (*Taxodiaceae*), спор, близких к сфагновым мхам, *Stereisporites* spp. Чрезвычайно разнообразный и выразительный по составу комплекс, включающий пыльцу покрытосеменных: *Anacolosidites insignis*, *Aquilllapollenites* aff. *echinatus*, *Wodehousia* cf. *vestivirgata* Wig., *Stephanoporopollenites hexaradiatus*, *Interporopollenites turgidus*, а также разнообразные голосеменные и споровые, является прекрасным биостратиграфическим репером раннего зеландия в регионе. Он установлен в разрезах: Лозьвинская пристань, опорной скважины Липовская ЛД-1 [Васильева, 1999, 2003а, 2003б]. В верхней (глинистой) части разреза комплекс

пыльцы, также как и фитопланктона, несколько обедняется и включает главным образом некрупную пыльцу разных видов *Oculopollis*, *Trudopollis*, *Nudopollis thiergartii*, *N. terminalis*. Изменяется соотношение основных групп пыльцы и спор: споры *Stereisporites* spp. и пыльца голосеменных *Inaperturopollenites* spp. утрачивают доминирующее значение. Комплекс обозначен *Trudopollis menneri* – *Anacolosidites insignis* – *Stereisporites* – *Inaperturopollenites*.

В разрезе **Среднее Салтаново**, расположеннном в 20 км выше по течению р. Ляля, ассоциация фитопланктона, характеризующая глинистую толщу ивдельской (талицкой) свиты, также соответствует зональному комплексу *Alterbidinium circulum*, но имеет несколько необычный состав, так что необходимо отметить его особенности. Наряду с характерными видами: *Alterbidinium circulum*, *Palaeocystodinium australinum*, *Palaeoperidinium pyrophorum*, *Fibradinium annetorpense*, *Microdinium dentatum*, *Spiniferites suparus*, *Fromea laevigata*, *Achomosphaera* sp., комплекс включает серию новых видов *Alterbidinium*. В верхней части разреза ассоциация фитопланктона немногочисленна и состоит практически только из разных видов рода *Alterbidinium*. Наиболее характерные таксоны этого комплекса показаны в табл. 1.

Комплекс пыльцы в отложениях ивдельской (талицкой) свиты разреза Среднее Салтаново по общему составу покрытосеменных (стемма Normapolles) и соотношению групп пыльцы и спор отвечает комплексу *Trudopollis menneri* – *Anacolosidites insignis* – *Stereisporites* – *Inaperturopollenites*.

В опоках серовской свиты, перекрывающих глинистую толщу ивдельской свиты (Среднее Салтаново), установлены редкие диноцисты слабой сохранности *Apectodinium homomorphum*, *Cerodinium* spp., относящиеся к зональному комплексу позднего танета *Apectodinium homomorphum* (поздний палеоцен).

Палеонтологические заметки  
Division Dinoflagellata (Bütschli 1885),

Fensome et all.

Class Dinophyceae Pascher 1914

Order Peridiniales Haeckel 1894

Family Peridiniaceae Ehrenberg 1831

Genus *Alterbidinium* Lentin et Williams 1985

*Alterbidinium* sp. 1

Табл. 1. Фиг. 1-4

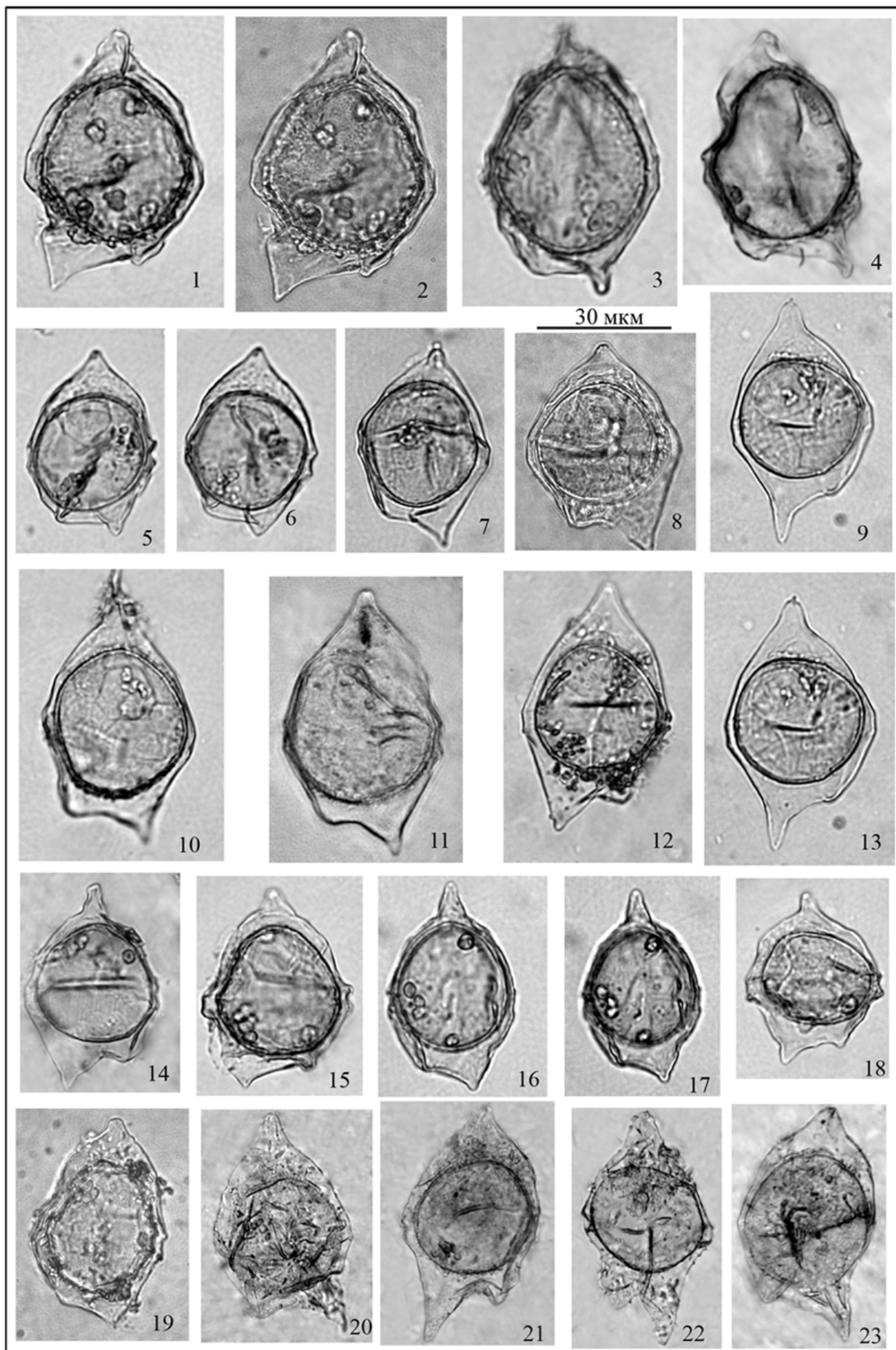
**Диагноз.** Перидиноидная циркумкаватная округло-ovalьная циста средних и крупных размеров. Хорошо развит левый антапикальный рог. На гипоцисте развит левый антапикальный рог, правый значительно редуцирован. Эндоциста крупная, округло-пентагональная, занимает большую часть цисты. Перифрагма тонкая, гладкая, прозрачная. Эндофрагма плотная, толстая, крупнозернистая. Периархеопиль округлогексагональный интеркалярного типа. Периперкулем прикреплен. Парасулькус обозначен широкой складкой.

**Описание.** Перициста округло-ovalьной, слегка пентагональной формы. Эпициста по длине чуть больше или равна гипоцисте. Эпициста с выпуклыми сторонами, едва заметными перегибами – «плечиками». Апикальный рог слегка оттянут, закруглен, с коротким шипиком на вершине. Гипоциста со слегка вогнутыми боковыми сторонами, значительно сужается к антапикальным рогам. Хорошо развит левый антапикальный рог; обычно оттянутый, заострен. Правый антапикальный рог присутствует, но в значительной степени редуцирован, закруглен. Перифрагма тонкая, плотная, прозрачная, светлая, тонкозернистая. Эндоциста крупная, округло-ovalьная, яйцевидная, занимает почти все пространство цисты. Эндофрагма плотная, толстая, неравномерно крупнозернистая, более темная и грубая, чем перифрагма. На поверхности эндофрагмы наблюдаются включения органического материала в виде округлых пятен; крупные зерна сконцентрированы на полю-

Табл. 1. Некоторые характерные таксоны диноцист в разрезе Среднее Салтаново (бассейн р. Ляля). Все экземпляры из отложений ивдельской (талицкой) свиты. Размер линейки – 30  $\mu$ .

Фиг. 1-4. *Alterbidinium* sp. 1, обр. 46. Фиг. 5-8. *Alterbidinium* sp. 3, обр. 46. Фиг. 9-13. *Alterbidinium* sp. 2. Фиг. 9, 13 – обр. 44. Фиг. 10, 12 – обр. 46. Фиг. 11 – обр. 42. Фиг. 14-18. *Alterbidinium* sp. 4. Фиг. 14 – обр. 44. Фиг. 15-18 – обр. 46. Фиг. 19. *Alterbidinium* sp., обр. 42. Фиг. 20. *Altebidinium* sp. 3, обр. 41. Фиг. 21. *Alterbidinium circulum* Heilmann-Clausen, обр. 41. Фиг. 22. *Alterbidinium* sp., обр. 41. Фиг. 23. *Alterbidinium* sp., обр. 41.

СТРАТИГРАФИЯ, ПАЛЕОНТОЛОГИЯ



сах. Перицель отчетливый, узкий. Эпицель и гипоцель незначительно расширены. Парацингулюм слегка выступает на боковых сторонах цисты слабо прогибающейся широкой бороздкой; иногда обозначен парасутуральным тонким швом. Парасулькус выражен широкой складкой наentralной стороне цисты. Периархеопиль интеркалярного или комбинированного интеркалярно-прецингулярного типа. Периоперкулюм прикреплен. Периархеопиль обычно включает пластины Ia (2a), по форме округло-гексагональный, слабо вытянутый. Паратабуляция выражена формой периархеопиля, парацингулюмом, парасулькусом.

**Размеры (мкм).** Длина перицисты 79-70, ширина перицисты 56-47, длина эндоцисты 47-45, ширина эндоцисты 46-45.

**Сравнение.** *Alterbidinium* sp. 1 имеет признаки сходства с видом *Alterbidinium circulum* (Heilmann-Clausen), но отличается пропорциями перицисты и эндоцисты: последний имеет относительно более мелкий эндоцист и сравнительно более широкий перицель.

**Распространение.** Ивдельская свита, талицкая свита (верхнеталицкая подсвита) Среднего Зауралья. Обнажение Среднее Салтаново, бассейн р. Ляля (Серовский район Свердловская область), скважина ИГ-32 (Курганская область). Ранний зеландий.

### *Alterbidinium* sp. 2

Табл. 1. Фиг. 9-13

**Диагноз.** Перидиноидная циркумкаватная удлиненно-ovalная циста средних и крупных размеров. Апикальный рог конический, на вершине закругленный. Левый антапикальный рог (обычно) хорошо развит, правый – значительно редуцирован. Эндоциста от круглой до округло-ovalной. Перифрагма тонкая гладкая прозрачная. Эндофрагма тонкая, плотная, гладкая или слегка бугорчатая. Периархеопиль гексагональный интеркалярного или интеркалярно-прецингулярного типа. Парацингулюм слабо выражен, неглубокий, обозначен тонкой складкой на перифрагме. Парасулькус не обозначен.

**Описание.** Перициста продольно удлиненная, округло-пентагональная.

Эпициста по длине приблизительно равна эпицисте. Боковые стороны эпицисты слегка выпуклые, без перегибов. Апикальный рог умеренно вытянут, вершина его закруглена; иногда с коротким шипиком. Гипоциста со слегка прогнутыми боковыми сторонами, ассиметрич-

ная. Антапикальные рога не равны по длине; хорошо развит левый антапикальный рог и значительно редуцирован правый антапикальный рог. Левый антапикальный рог заострен, вершина правого слажена, закруглена.

Эндоциста почти круглая, иногда округло-пентагональная, крупная, занимает центральное положение в клетке. Перифрагма тонкая, прозрачная, гладкая, плотная, не сминается в складки. Эндофрагма тонкая, гладкая или неясно бугорчатая, чуть более плотная и темная, чем перифрагма. Иногда на эндофрагме встречаются включения органического материала в виде крупных зерен. Перицель хорошо выражен, иногда значительно сужается в области цингулюма и боковых частей перицисты, так что оболочки практически соприкасаются. Периархеопиль слегка вытянутый округло-гексагональный, тип – интеркалярный или комбинированный интеркалярно-прецингулярный. Периоперкулюм прикреплен. Эндоархеопиль округло-гексагональный. Эндооперкулюм прикреплен. Парацингулюм выражен слегка приподнимающейся слабо прогнутой широкой бороздой и тонкой короткой одиночной или двойной складкой перифрагмы. Парасулькус не выражен.

**Размеры (мкм).** Длина перицисты 75-69, ширина перицисты 50-43, длина эндоцисты – 46-43, ширина эндоцисты – 45-43.

**Сравнения.** Отличается от морфологически близкого вида *Alterbidinium circulum* Heilmann-Clausen более вытянутой формой перицисты, строением антапикальных рогов, формой гипоцисты (отсутствует характерная для *A. circulum* «выемка» со стороны укороченного антапикального рога), формой эпицисты (у *Alterbidinium* sp. 2 отсутствуют «плечики»), более узким перицелем, значительно более слаженной формой парацингулюма.

**Распространение.** Ивдельская свита, талицкая свита (верхнеталицкая подсвита) Среднего Зауралья. Обнажение Среднее Салтаново, бассейн р. Ляля (Серовский район Свердловская область). Ранний зеландий.

### *Alterbidinium* sp. 3

Табл. 1. Фиг. 5-8.

**Диагноз.** Перидиноидная циркумкаватная ovalьно-пентагональная циста мелких размеров. Апикальный рог, слабо выступающий, заострен. Хорошо развит один антапикальный рог, второй почти полностью редуцирован. Эндоциста круглая. Перифрагма тонкая прозрач-

## СТРАТИГРАФИЯ, ПАЛЕОНТОЛОГИЯ

ная. Эндофрагма довольно плотная, тонкая, неясно бугорчатая. Периархеопиль широкий гексагональный интеркалярного типа. Периоперкулюм прикреплен. Парацингулюм четкий, выступающий. Парасулькус не различим.

**Описание.** Перициста овально-пентагональная. Эпициста по длине чуть больше гипоцисты или равна ей. «Плечики» плавно закруглены. Апикальный рог незначительно выступает; вершина его оттянута и заострена. Гипоциста трапециевидная, асимметричная; боковые стороны плавно сужаются. Левый (обычно) антапикальный рог развит хорошо, заострен, правый практически редуцирован или слегка выступает, закруглен. Эндоциста крупная обычно круглая, реже широко-овальная. Перифрагма тонкая, прозрачная, плотная, гладкая. Эндофрагма плотная, гладкая или неясно бугорчатая, чуть более толстая и темная, чем перифрагма. На эндофрагме обычноично встречаются включения органического материала в виде крупных зерен и бугорков. Перицель хорошо выражен, иногда асимметрично сужается в области цингулюма с одной стороны цисты. Эпицель и гипоцель расширяются незначительно. Периархеопиль округло-гексагональный интеркалярного типа (пластинки Ia или 2a). Периперкулюм прикреплен. Парацингулюм четкий, выступающий в виде достаточно широкой прогибающейся борозды и обозначен складкой (иногда двойной) на перифрагме. Парасулькус не различим.

**Размеры (мкм).** Длина перицисты 62-55, ширина перицисты 53-50, диаметр эндоцисты 48-49.

**Сравнения.** Сопоставим с *Alterbidinium rugulum* Iakovl., но значительно мельче, отличается гладкой перифрагмой, строением антапикальных рогов и имеет другое стратиграфическое распространение.

**Распространение.** Ивдельская свита, талицкая свита (верхнеталицкая подсвита) Среднего Зауралья. Обнажение Среднее Салтаново, бассейн р. Ляля (Серовский район Свердловская область). Ранний зеландий.

*Alterbidinium* sp. 4

Табл. 1. Фиг. 14-18.

**Диагноз.** Перициста овально-пентагональная циста средних и мелких размеров. Апикальный рог пирамидальный, узкий, сравнительно высокий. Развит левый антапикальный рог. Эндоциста округло-овальная. Перифрагма

гладкая, тонкая, плотная, прозрачная. Эндофрагма более плотная, гладкая или неясно-буторчатая. Периархеопиль широкий гексагональный интеркалярного или интеркалярно-прецингулярного типа. Периоперкулюм прикреплен. Парацингулюм выражен выступающей широкой бороздой и тонкой складкой перифрагмы. Парасулькус не выражен.

**Описание.** Перициста округло-овальной формы. Эпициста по длине приблизительно равна гипоцисте. Эпициста округлой формы с выступающим в форме пирамидки апикальным рогом. Иногда на гипоцисте наблюдаются «плечики» в виде незначительного перегиба. Гипоциста асимметричная трапециевидной формы с хорошо развитым, заостренным левым антапикальным рогом. Правый антапикальный рог значительно редуцирован, заострен или не выражен. Эндоциста округло-овальная, округло-пентагональная. Перифрагма сравнительно плотная, гладкая или слажено-буторчатая. Эндофрагма плотная, бугорчато-шагреневая. На поверхности эндофрагмы наблюдаются включения органического материала в форме отдельных бугорков. Перицель сравнительно узкий, расширяется только в области гипоцеля. Периархеопиль сравнительно широкий, гексагональной формы интеркалярный или интеркалярно-прецингулярный. В формировании периархеопиля участвуют пластинки Ia или 2a. Периперкулюм прикреплен. Парацингулюм представлен двойной широкой бороздой обычноично хорошо выступающей, иногда более сложенной, а также тонкой складкой перифрагмы. Парасулькус не выражен.

**Размеры (мкм).** Длина перицисты 60-55, ширина перицисты 58-55, длина эндоцисты 50-43, ширина эндоцисты 50-42.

**Сравнения.** Данный вид сопоставим с *Alterbidinium* sp. 3, но отличается узким выдержанным перицелем, формой апикального рога, строением гипоцисты.

**Распространение.** Ивдельская свита, талицкая свита (верхнеталицкая подсвита) Среднего Зауралья. Обнажение Среднее Салтаново, бассейн р. Ляля (Серовский район Свердловская область). Ранний зеландий.

### Краткие выводы

Таким образом, в изученных разрезах Среднее Салтаново и Ляля-Титово отложения ивдельской (талицкой) свиты представляют образования раннезеландской трансгрессии по-

## ЕЖЕГОДНИК-2007

здного палеоцена, распространившейся с севера на территорию Западной Сибири, главным образом, в Зауралье. Вероятно, в изученных разрезах образования ивдельской (талицкой) свит имеют наиболее западное распространение. Учитывая, что отложения марсятской свиты в разрезе Марсията охарактеризованы комплексом диноцист *Cerodinium striatum*, который мы соотносим с позднедатским временем, самой верхней надзоной дания *Hafniasphaera cryptovesiculata* в зонации Дж. Хансена [Hansen, 1977], то можно заключить, что отложения, соответствующие раннезеландскому ритму в Зауралье (комплекс диноцист *Alterbidinium circulum*), сформировались вслед за позднедатской трансгрессией без значительного перерыва. Состав комплекса *Alterbidinium circulum* в изученных разрезах наряду с типичными видами раннего зеландия содержит несколько новых видов рода *Alterbidinium*.

*Работа выполнена при финансовой поддержке РФФИ, грант № 06-05-64780.*

### *Список литературы*

Амон Э.О., Васильева О.Н., Железко В.И. Стратиграфия талицкого горизонта (палеоцен) в Среднем Зауралье // Стратиграфия. Геологическая корреляция. 2003. Т. 11. № 3. С. 92-107.

Васильева О.Н. Стратиграфия палеоценовых отложений в бассейне р. Лозьвы (Северный Урал) по палинологическим данным // Проблемы стратиграфии и палеонтологии Урала. Екатеринбург, 1999. С. 170-175.

Васильева О.Н. Комплексы микрофитопланктона в отложениях палеоцена Зауральской структурно-фацальной зоны // Вестник ТГУ. Приложение № 3 (11): Проблемы геологии и географии Сибири, 2003а. С. 50-52.

Васильева О.Н. Диноцисты палеоцена из отложений талицкой свиты Зауралья // Ежегодник-2002. Екатеринбург: ИГГ УрО РАН, 2003. С. 20-30.

Васильева О.Н. Палинофлора дания в стратотипическом разрезе марсятской свиты Северного Зауралья // Ежегодник-2005. Екатеринбург: ИГГ УрО РАН, 2006. С. 12-21.

Козлова Г.Э. Радиолярии палеогена бореальной области России // СПб: ВНИГРИ. 1999. 323 с.

Малышкина Т.П. Эласмобранхии западной окраины Западно-Сибирского палеогенового бассейна // Екатеринбург: ИГГ УрО РАН, 2006. 224 с.

Ренгартен В.П. Стратиграфия меловых и третичных отложений Восточного Приуралья // Труды ГИН. Вып. 133, геол. серия (№ 54). 1951. 136 с.

Стрельникова Н.И. Палеогеновые диатомовые водоросли // СПб: Изд-во Санкт-Петербургского университета. 1992. 334 с.

Цаур Г.И., Якушев В.М. Методические рекомендации по литологическому расчленению морских мезозойских и кайнозойских отложений восточного склона Урала и Зауралья // Свердловск: Министерство геологии СССР, ПО «Уралгеология», 1991. 116 с.

Hansen J.M. Dinoflagellate stratigraphy and echinoid distribution in Upper Maastrichtian and Danian deposits from Denmark // Bull. Geol. Soc. Denmark. 1977. V. 26. P. 1-26.

Heilmann-Clausen C. Dinoflagellate stratigraphy of the Uppermost Danian to Ypresian in the Viborg 1 borehole, Central Jutland, Denmark // Geol. Surv. Denmark. 1985. Ser. A. № 7. 69 p.

Luterbacher H.P., Ali J.R., Brinkhuis H., Gradstein et al. // The Paleogene Period / A Geological Time Scale. 2004. F.M. Gradstein et al. (Eds.). Cambridge University Press. P. 384-408.